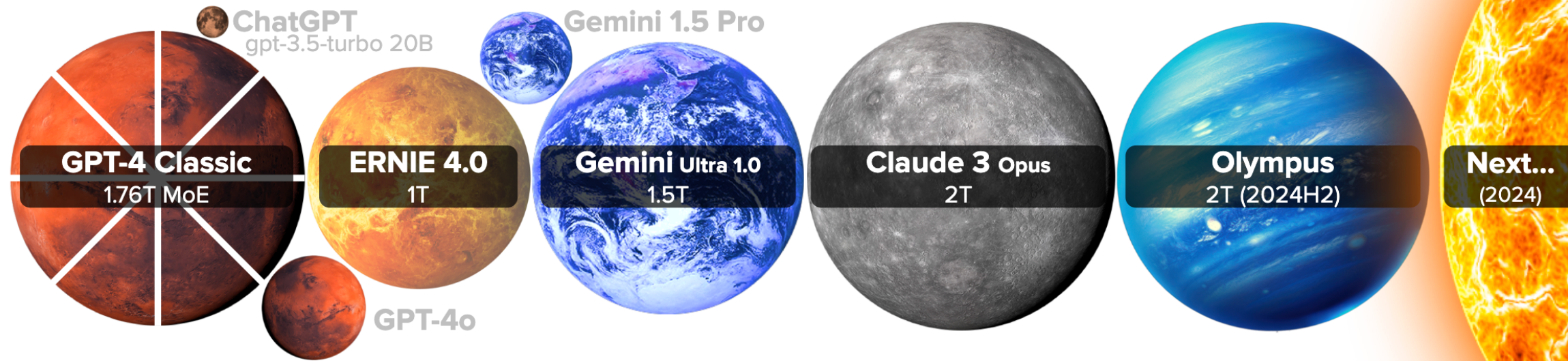


하계세미나

발표자: 임정우

LARGE LANGUAGE MODEL HIGHLIGHTS (JUN/2024)



Parameters

AI lab/group

+ more than 350 documented models at [LifeArchitect.ai/models-table](https://lifearchitect.ai/models-table/)

Sizes linear to scale. Selected highlights only. All 350+ models: <https://lifearchitect.ai/models-table/>. Alan D. Thompson. 2021-2024.

Preliminaries

- 두 가지의 다른 LLM Quantization Methods: QAT, PTQ
 1. QAT (Quantization-aware training)
 - Quantization 을 위해 전체 모델과 quantization 파라미터를 위해서 fine-tuning 시켜야함
ex) LLM-QAT
 2. PTQ (Post-training quantization)
 - 전체 학습 후 모델의 파라미터를 quantization. 하지만 성능의 저하가 뚜렷함
ex) GPTQ, SmoothQuant, LLM.int8()

Preliminaries

- 파라미터는 어떻게 Quantization을 할까?
 - LLM이 가지고 있는 두 가지 중요 파트 :
 - 1) MSA (Multi-head Self-Attention)
 - 2) FFN (Feed-Forward Network)
- 이 구조 안에 들어있는 linear layer 들 내부의 Notation은 다음과 같음

$$\mathbf{y}_k = \sum_{i=1}^M \mathbf{x}_i \mathbf{W}_{ik},$$

$$I \quad \begin{array}{|c|c|c|c|c|}\hline & M \\ \hline \end{array}$$

$$\mathbf{x} \in \mathbb{R}^M$$

$$M \quad \begin{array}{|c|c|c|c|c|c|}\hline & N \\ \hline \end{array}$$

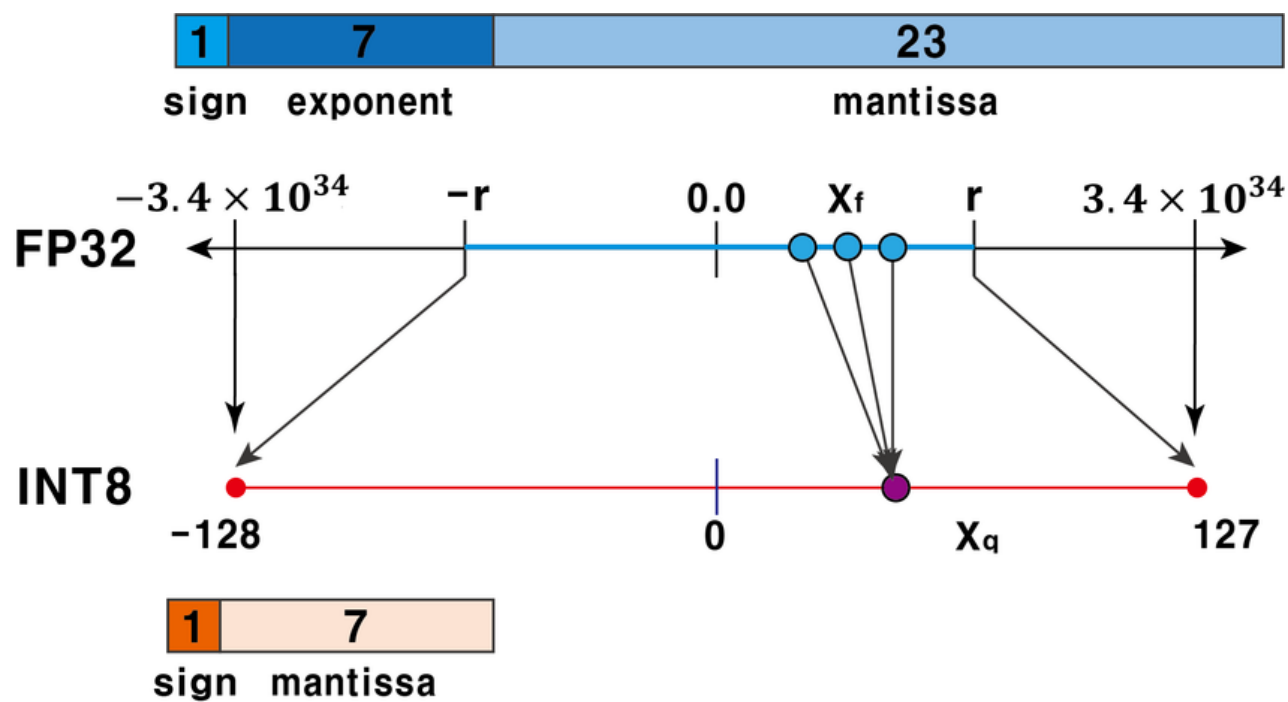
$$\mathbf{W} \in \mathbb{R}^{M \times N}$$

$$N \quad \begin{array}{|c|c|c|c|c|}\hline & N \\ \hline \end{array}$$

$$\mathbf{y} \in \mathbb{R}^N$$

Preliminaries

- X, Y, W값 >> FP32, FP16의 Real value 들을 INT8로 Quantization 진행한다면,
= 수들을 다음의 형태로 표현한다는 것
= Dequantize 하게 되면 당연히 원래의 값과 차이가 날 수밖에 없음



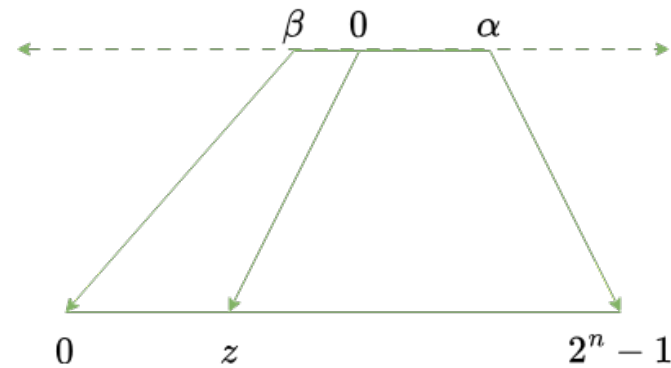
Preliminaries

- 0의 좌우범위에 따라 Assymmetric, Symmetric으로 나뉨

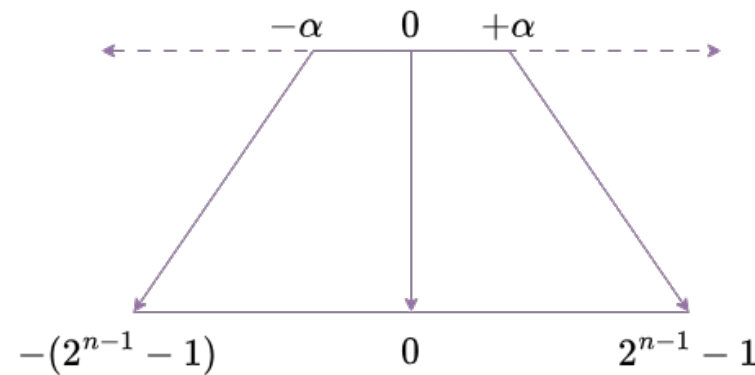
Original

| | | | | | | |
|------|--------|---|-------|------|--------|-------|
| 49.7 | -13.14 | 0 | -6.66 | 48.7 | -12.14 | -7.41 |
|------|--------|---|-------|------|--------|-------|

Asymmetric



Symmetric



Asymmetric

| | | | | | | |
|-----|---|----|----|-----|---|----|
| 255 | 0 | 53 | 26 | 251 | 4 | 23 |
|-----|---|----|----|-----|---|----|

Symmetric

| | | | | | | |
|-----|-----|---|-----|-----|-----|-----|
| 127 | -34 | 0 | -17 | 124 | -31 | -19 |
|-----|-----|---|-----|-----|-----|-----|

Preliminaries

- 이걸 수식적으로 나타내보자

b 는 quantization 비트 수

α 는 scale factor

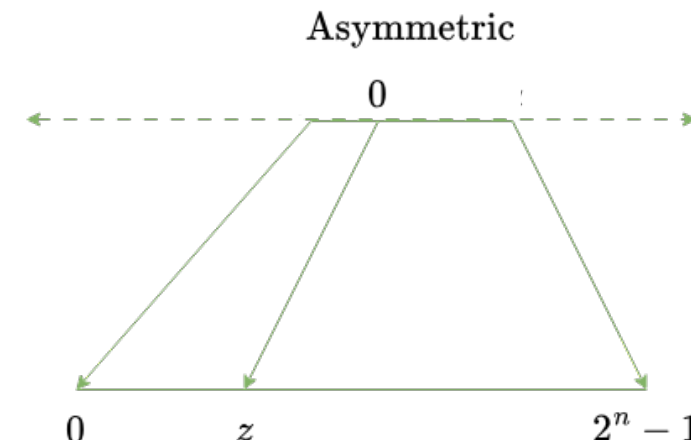
β 는 zero-point value

[] 는 round

$$\alpha = \frac{\max(\mathbf{X}) - \min(\mathbf{X})}{2^b - 1}$$

$$\beta = -\left\lfloor \frac{\min(\mathbf{X})}{\alpha} \right\rfloor$$

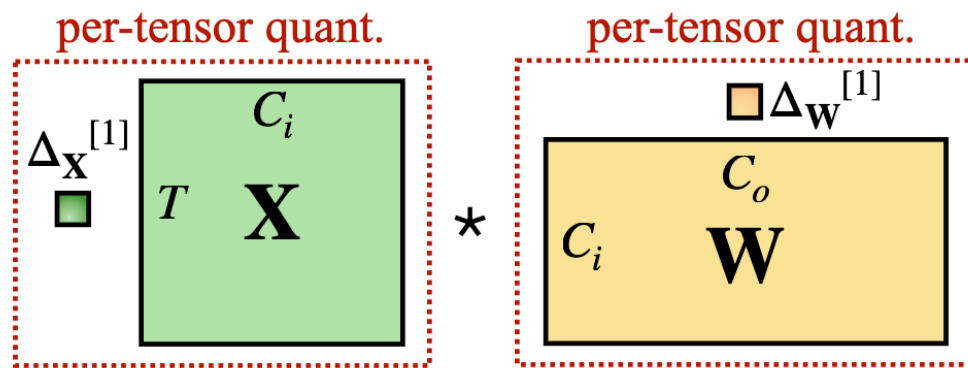
$$\mathbf{X}_q = \text{quant}(\mathbf{X}) = \text{clamp}\left(\left\lfloor \frac{\mathbf{X}}{\alpha} \right\rfloor + \beta, 0, 2^b - 1\right)$$



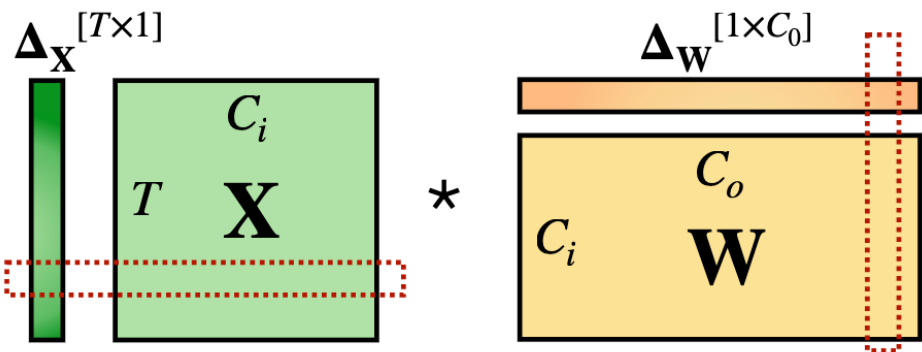
- 그림의 n 은 수식의 b
- 그림의 z 는 수식의 β

Preliminaries

- 저 min, max를 어떻게 설정하느냐에 따라 ..



(a) per-tensor quantization



(b) per-token + per-channel quantization

OMNIQUANT: OMNIDIRECTIONALLY CALIBRATED QUANTIZATION FOR LARGE LANGUAGE MODELS

**Wenqi Shao^{†1}, Mengzhao Chen^{†1}, Zhaoyang Zhang³, Peng Xu^{1,2}, Lirui Zhao¹,
Zhiqian Li², Kaipeng Zhang¹, Peng Gao¹, Yu Qiao¹, Ping Luo^{*1,2}**

¹OpenGVLab, Shanghai AI Laboratory ²The University of Hong Kong

³The Chinese University of Hong Kong

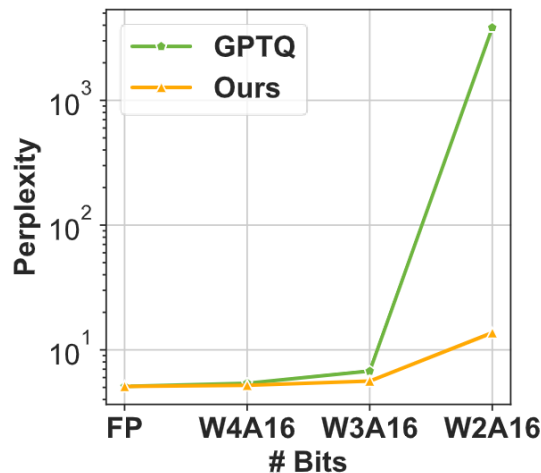
ICLR 2024 (Spotlight)

Introduction

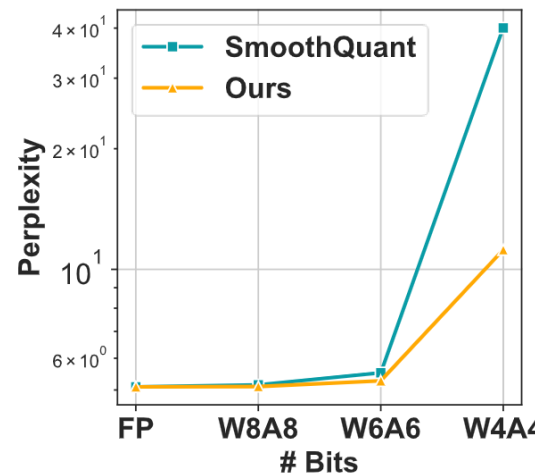
- QAT는 전체 모델을 quantization을 위해 training 시키는 것은 너무나 비용이 많이 듬
- 그래서 PTQ가 많이 사용되는데, 그 중에서도 weight만 quantization시키고, activation은 full-precision으로 두는 경우가 있었음 (GPTQ, SPQR)
 - 일환으로, computational overhead를 줄이기위해 Smoothquant나 OS(Outlier Supression) 등의 모델들은 weight-activation 모두를 quantization하여 low-bit matrix multiplication을 구현함

Introduction

- 이렇게 기존의 quantization 모델들은 W4A16 (i.e. 4-bit weight and 16-bit activation), W8A8 등에서 높은 성능을 보였지만, 더 낮은 비트 수로 quantization하면 성능이 급격하게 떨어짐



(b) weight-only quantization



(c) weight-activation quantization

- 이러한 이유는 기존의 method가 handcrafted quantization 파라미터 (migration strength, scaling parameter) 등을 가지고 있어서 그렇다고 함 (optimal하지 않음)

Introduction

- 그렇다고 QAT를 적용하기에는, training과 data efficiency가 확보되지 않음
(실제로 GPTQ는 A100으로 LLaMA-13B quantization을 128개의 sample로 1시간만에 실행 가능하지만 LLM-QAT로는 100k 샘플이 필요하고 100시간 이상이 필요함)
- 저자의 Motivation

: Can we attain the performance of QAT, while maintaining
the time and data efficiency of PTQ?

Introduction

- OmniQuant
 - : low-bit setting에서 굉장히 좋은 성능을 보였고, time, data efficiency를 동시에 확보하였음
 - : OmniQuant 는 기존의 full-precision weight를 얼리고 quantization parameter를 학습시킴
- 1) LWC (Learnable Weight Clipping)
: modulates the extreme values of weights by optimizing the clipping threshold
- 2) LET (Learnable Equivalent Transformation)
: tackles activation outliers by learning mathematically equivalent transformations in a transformer encoder.

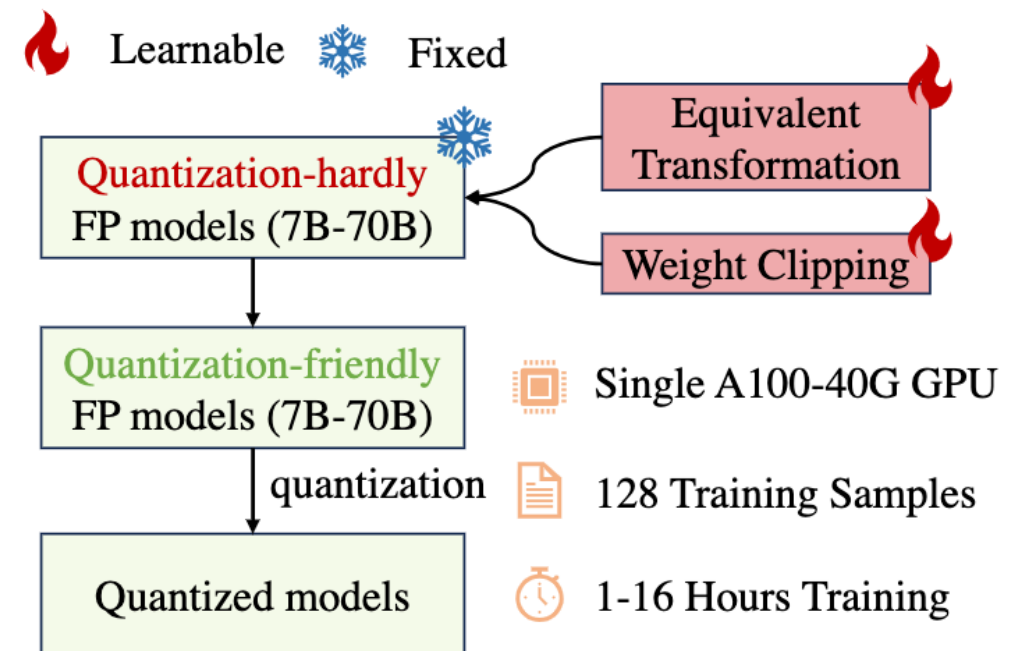


Figure 2: Characteristics of OmniQuant on LLaMA family.

Method

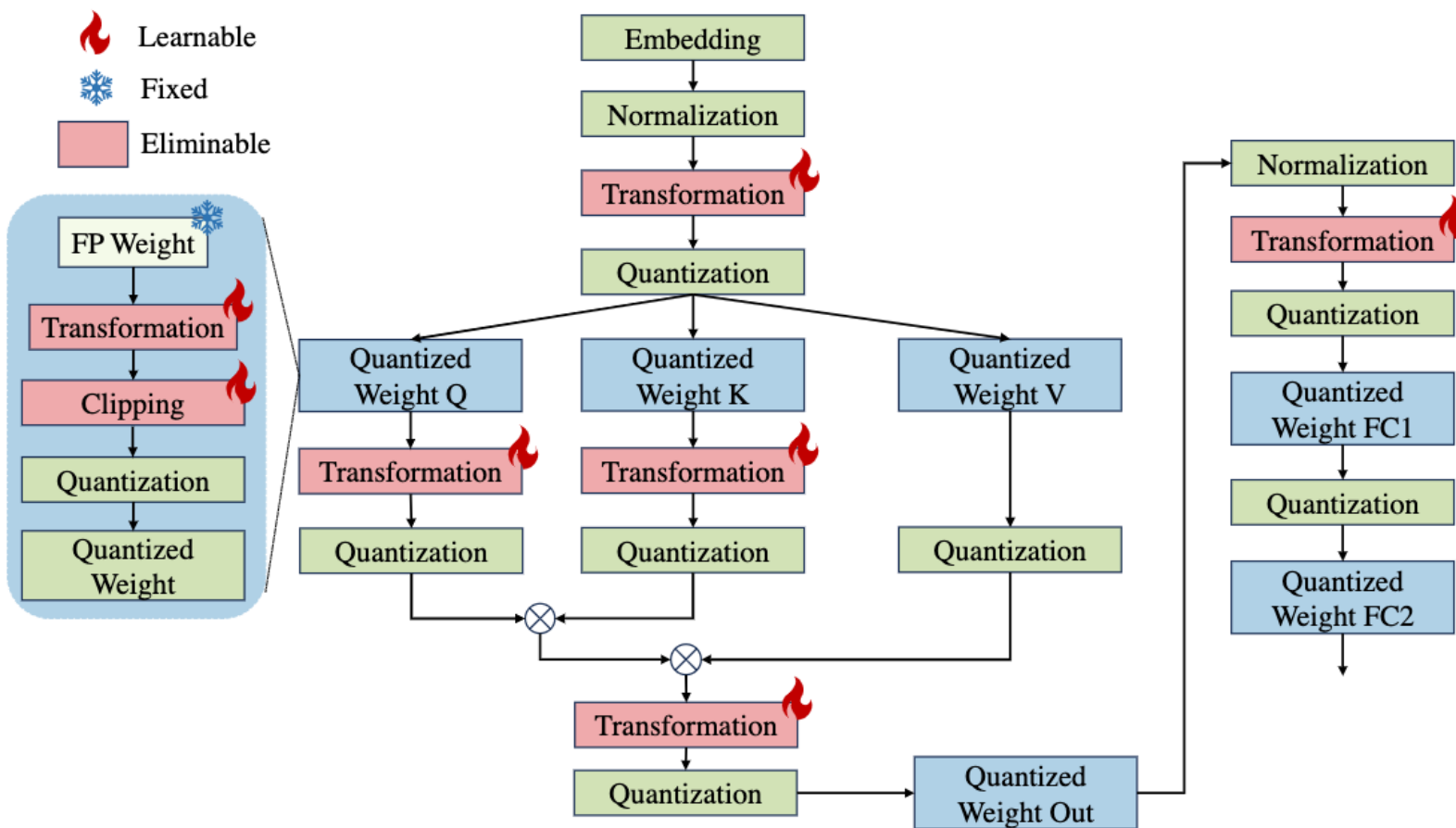


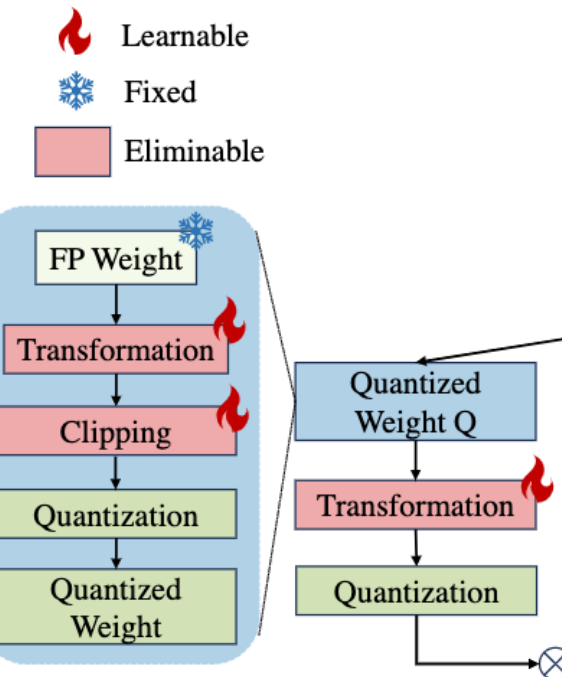
Figure 3: **Details of OmniQuant** in a transformer block. Note that all learnable parameters can be eliminated after quantization.

Method

- Challenge of LLM quantization
 - 1) Outlier 채널 때문에 activation은 quantization하기 어려움
 - 2) Activation의 중요도에 따라서 Weight의 quantization error는 performance에 직접적인 영향을

Method

- Challenge of LLM quantization
 - 1) Outlier 채널 때문에 activation은 quantization하기 어려움
 - 2) Activation의 중요도에 따라서 Weight의 quantization error는 performance에 직접적인 영향을 줌
- OmniQuant
 - a) Block-wise quantization error minimization framework 제안
 - **Learnable weight clipping (LWC)**
: to mitigate the difficulty in quantizing weights
 - **Learnable equivalent transformation (LET)**
: shift the challenge of quantization from activations to weights



Method

- Block-wise Quantization Error Minimization

$$\arg \min_{\Theta_1, \Theta_2} \|\mathcal{F}(\mathbf{W}, \mathbf{X}) - \mathcal{F}(Q_w(\mathbf{W}; \Theta_1, \Theta_2), Q_a(\mathbf{X}, \Theta_2))\|,$$

\mathcal{F} : Transformer block

\mathbf{X} : activation (FP)

\mathbf{W} : weight (FP)

$Q_w(\cdot)$: weight quantizer

$Q_a(\cdot)$: activation quantizer

Θ_1 : LWC 의 파라미터

Θ_2 : LET의 파라미터

- 1) OmniQuant에서는 LWC와 LET를 동시에 optimizing 하므로 weight-only와 weight-activation quantization을 모두 포괄한다고 함
- 2) 또한, block-wise minimization 는 quantization 파라미터만 최적화 하기 때문에 minimal resource가 있어도 최적화에 용이함

Method

- Learnable Weight Clipping (LWC)

: 기존처럼 weight의 clipping threshold를 dynamic하게 정해주는 건 유사하지만, direct하게 파라미터를 튜닝하지 않는다는 점에서 그 차이가 있음

$$h = \frac{\gamma \max(\mathbf{W}) - \beta \min(\mathbf{W})}{2^N - 1}$$

$$z = -\lfloor \frac{\beta \min(\mathbf{W})}{h} \rfloor$$

N 는 quantization 비트 수

h 는 normalization factor

z 는 zero-point value

$\lfloor \cdot \rfloor$ 는 round

$\alpha, \beta \in [0,1]$ 는 파라미터, learnable clipping strengths

$$\mathbf{W}_q = \text{clamp}\left(\lfloor \frac{\mathbf{W}}{h} \rfloor + z, 0, 2^N - 1\right)$$

Method

- Learnable Equivalent Transformation (LET) – Linear Layer
 - : weight-activation quantization의 어려움을 줄이기 위해 제안됨
 - : 특정 채널에서 outlier가 발견되는 점을 고려하여, 기존의 hand-crafted 파라미터는 optimal 하지 않음
 - : LET는 channel-wise scaling, channel-wise shifting을 이용하여 activation을 변경하여 outlier를 완화함

$$\mathbf{Y} = \mathbf{X}\mathbf{W} + \mathbf{B} = \underbrace{[(\mathbf{X} - \delta) \oslash s]}_{\tilde{\mathbf{X}}} \cdot \underbrace{[s \odot \mathbf{W}]}_{\tilde{\mathbf{W}}} + \underbrace{[\mathbf{B} + \delta\mathbf{W}]}_{\tilde{\mathbf{B}}}$$

T : sequence length

$\mathbf{X} \in \mathbb{R}^{T \times C_{in}}$: input

$\mathbf{W} \in \mathbb{R}^{C_{in} \times C_{out}}$

$\delta \in \mathbb{R}^{1 \times C_{in}}$: channel-wise shifting 파라미터

$\mathbf{s} \in \mathbb{R}^{1 \times C_{in}}$: channel-wise scaling 파라미터

\oslash : elementwise division

\odot : elementwise multiplication

Method

- Learnable Equivalent Transformation (LET) – Linear Layer
 - : weight-activation quantization의 어려움을 줄이기 위해 제안됨
 - : 특정 채널에서 outlier가 발견되는 점을 고려하여, 기존의 hand-crafted 파라미터는 optimal 하지 않음
 - : LET는 channel-wise scaling, channel-wise shifting을 이용하여 activation을 변경하여 outlier를 완화함

$$\mathbf{Y} = Q_a(\tilde{\mathbf{X}})Q_w(\tilde{\mathbf{W}}) + \tilde{\mathbf{B}}$$

$Q_a(\cdot)$: vanilla MinMax quantizer

$Q_w(\cdot)$: vanilla MinMax quantizer w/ LWC

: 이러한 transformation을 FFN의 두번째 레이어만 빼고 적용함
(왜냐하면 non-linear layer 다음의 high sparsity 때문에 gradient가 unstable할 수 있기 때문)

Method

- Learnable Equivalent Transformation (LET) - Attention operation
: Attention에서는 엄청난 양의 computation이 필요하기에, 저자들은 Q/K/V matrix도 low-bit로 만들고자 함 (weight-activation setting)

$$\mathbf{P} = \text{Softmax}(\mathbf{Q}\mathbf{K}^T) = \text{Softmax}((\underbrace{\mathbf{Q} \oslash s_a}_{\tilde{\mathbf{Q}}})(\underbrace{s_a \odot \mathbf{K}^T}_{\tilde{\mathbf{K}}^T}))$$

$$s_a \in \mathbb{R}^{1 \times C_{out}}$$

$\tilde{\mathbf{Q}}$ $\tilde{\mathbf{K}}$ 는 Q_a 와 같이 MinMax Quantizer를 통과한 값

Method

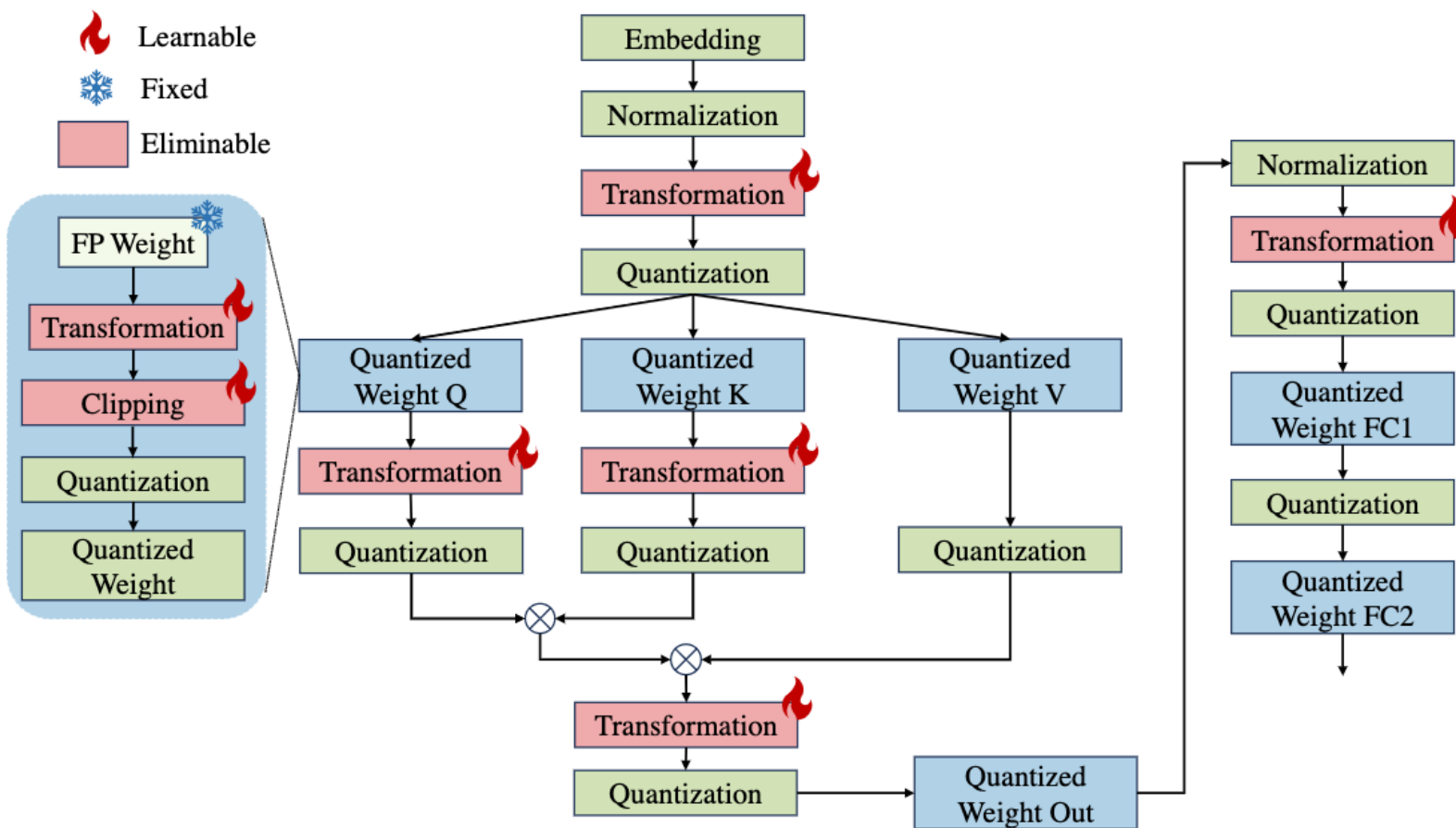


Figure 3: **Details of OmniQuant** in a transformer block. Note that all learnable parameters can be eliminated after quantization.

Experiments

Table 1: **Weight-only quantization Results of LLaMA-1 and LLaMA-2 Models.** We report WikiText2 perplexity in this table, C4 perplexity can be found in Table A19 in Appendix.

| LLaMA1&2 / PPL↓ | 1-7B | 1-13B | 1-30B | 1-65B | 2-7B | 2-13B | 2-70B | |
|-----------------|------------------|--------------|--------------|-------------|-------------|--------------|--------------|-------------|
| FP16 | - | 5.68 | 5.09 | 4.10 | 3.53 | 5.47 | 4.88 | 3.31 |
| W2A16 | RTN | 1.1e5 | 6.8e4 | 2.4e4 | 2.2e4 | 3.8e4 | 5.6e4 | 2.0e4 |
| | GPTQ | 2.1e3 | 5.5e3 | 499.75 | 55.91 | 7.7e3 | 2.1e3 | 77.95 |
| | OmniQuant | 15.47 | 13.21 | 8.71 | 7.58 | 37.37 | 17.21 | 7.81 |
| | RTN | 1.9e3 | 781.20 | 68.04 | 15.08 | 4.2e3 | 122.08 | 27.27 |
| W2A16 g128 | GPTQ | 44.01 | 15.60 | 10.92 | 9.51 | 36.77 | 28.14 | NAN |
| | AWQ | 2.6e5 | 2.8e5 | 2.4e5 | 7.4e4 | 2.2e5 | 1.2e5 | - |
| | OmniQuant | 9.72 | 7.93 | 7.12 | 5.95 | 11.06 | 8.26 | 6.55 |
| | RTN | 188.32 | 101.87 | 19.20 | 9.39 | 431.97 | 26.22 | 10.31 |
| W2A16 g64 | GPTQ | 22.10 | 10.06 | 8.54 | 8.31 | 20.85 | 22.44 | NAN |
| | AWQ | 2.5e5 | 2.7e5 | 2.3e5 | 7.4e4 | 2.1e5 | 1.2e5 | - |
| | OmniQuant | 8.90 | 7.34 | 6.59 | 5.65 | 9.62 | 7.56 | 6.11 |
| | RTN | 25.73 | 11.39 | 14.95 | 10.68 | 539.48 | 10.68 | 7.52 |
| W3A16 | GPTQ | 8.06 | 6.76 | 5.84 | 5.06 | 8.37 | 6.44 | 4.82 |
| | AWQ | 11.88 | 7.45 | 10.07 | 5.21 | 24.00 | 10.45 | - |
| | OmniQuant | 6.49 | 5.68 | 4.74 | 4.04 | 6.58 | 5.58 | 3.92 |
| | RTN | 7.01 | 5.88 | 4.87 | 4.24 | 6.66 | 5.51 | 3.97 |
| W3A16 g128 | GPTQ | 6.55 | 5.62 | 4.80 | 4.17 | 6.29 | 5.42 | 3.85 |
| | AWQ | 6.46 | 5.51 | 4.63 | 3.99 | 6.24 | 5.32 | - |
| | OmniQuant | 6.15 | 5.44 | 4.56 | 3.94 | 6.03 | 5.28 | 3.78 |
| | RTN | 6.43 | 5.55 | 4.57 | 3.87 | 6.11 | 5.20 | 3.67 |
| W4A16 | GPTQ | 6.13 | 5.40 | 4.48 | 3.83 | 5.83 | 5.13 | 3.58 |
| | AWQ | 6.08 | 5.34 | 4.39 | 3.76 | 6.15 | 5.12 | - |
| | OmniQuant | 5.86 | 5.21 | 4.25 | 3.71 | 5.74 | 5.02 | 3.47 |
| | RTN | 5.96 | 5.25 | 4.23 | 3.67 | 5.72 | 4.98 | 3.46 |
| W4A16 g128 | GPTQ | 5.85 | 5.20 | 4.23 | 3.65 | 5.61 | 4.98 | 3.42 |
| | AWQ | 5.81 | 5.20 | 4.21 | 3.62 | 5.62 | 4.97 | - |
| | OmniQuant | 5.77 | 5.17 | 4.19 | 3.62 | 5.58 | 4.95 | 3.40 |

Experiments

Table 2: **Weight-activation quantization results of LLaMA Models.** This table reports the accuracy of 6 zero-shot tasks. Perplexity results can be found in Table A23 & A24 at Appendix.

| LLaMA / Acc↑ | #Bits | Method | PIQA | ARC-e | Arc-c | BoolQ | HellaSwag | Winogrande | Avg. |
|--------------|-------|------------------|-------|-------|-------|-------|-----------|------------|--------------|
| LLaMA-1-7B | FP16 | - | 77.47 | 52.48 | 41.46 | 73.08 | 73.00 | 67.07 | 64.09 |
| | W6A6 | SmoothQuant | 76.75 | 51.64 | 39.88 | 71.75 | 71.67 | 65.03 | 62.81 |
| | W6A6 | OS+ | 76.82 | 51.35 | 41.13 | 72.08 | 71.42 | 65.98 | 61.13 |
| | W6A6 | OmniQuant | 77.09 | 51.89 | 40.87 | 72.53 | 71.61 | 65.03 | 63.17 |
| | W4A4 | SmoothQuant | 49.80 | 30.40 | 25.80 | 49.10 | 27.40 | 48.00 | 38.41 |
| | W4A4 | LLM-QAT | 51.50 | 27.90 | 23.90 | 61.30 | 31.10 | 51.90 | 41.27 |
| | W4A4 | LLM-QAT+SQ | 55.90 | 35.50 | 26.40 | 62.40 | 47.80 | 50.60 | 46.43 |
| | W4A4 | OS+ | 62.73 | 39.98 | 30.29 | 60.21 | 44.39 | 52.96 | 48.43 |
| LLaMA-1-13B | W4A4 | OmniQuant | 66.15 | 45.20 | 31.14 | 63.51 | 56.44 | 53.43 | 52.65 |
| | FP16 | - | 79.10 | 59.89 | 44.45 | 68.01 | 76.21 | 70.31 | 66.33 |
| | W6A6 | SmoothQuant | 77.91 | 56.60 | 42.40 | 64.95 | 75.36 | 69.36 | 64.43 |
| | W6A6 | OS+ | 78.29 | 56.90 | 43.09 | 66.98 | 75.09 | 69.22 | 64.92 |
| | W6A6 | OmniQuant | 78.40 | 57.28 | 42.91 | 67.00 | 75.82 | 68.27 | 64.95 |
| | W4A4 | SmoothQuant | 61.04 | 39.18 | 30.80 | 61.80 | 52.29 | 51.06 | 49.36 |
| | W4A4 | OS+ | 63.00 | 40.32 | 30.38 | 60.34 | 53.61 | 51.54 | 49.86 |
| | W4A4 | OmniQuant | 69.69 | 47.39 | 33.10 | 62.84 | 58.96 | 55.80 | 54.37 |
| LLaMA-1-30B | FP16 | - | 80.08 | 58.92 | 45.47 | 68.44 | 79.21 | 72.53 | 67.44 |
| | W6A6 | SmoothQuant | 77.14 | 57.61 | 42.91 | 65.56 | 78.07 | 69.92 | 65.20 |
| | W6A6 | OS+ | 80.14 | 58.92 | 45.05 | 68.02 | 77.96 | 71.98 | 67.01 |
| | W6A6 | OmniQuant | 79.81 | 58.79 | 45.22 | 68.38 | 78.95 | 72.21 | 67.23 |
| | W4A4 | SmoothQuant | 58.65 | 35.53 | 27.73 | 60.42 | 35.56 | 48.06 | 44.83 |
| | W4A4 | OS+ | 67.63 | 46.17 | 34.40 | 60.70 | 54.32 | 52.64 | 52.62 |
| | W4A4 | OmniQuant | 71.21 | 49.45 | 34.47 | 65.33 | 64.65 | 59.19 | 56.63 |
| | W4A4 | OmniQuant | 71.81 | 48.02 | 35.92 | 73.27 | 66.81 | 59.51 | 59.22 |
| LLaMA-1-65B | FP16 | - | 80.79 | 58.71 | 46.24 | 82.29 | 80.72 | 77.50 | 71.04 |
| | W6A6 | SmoothQuant | 80.25 | 57.92 | 45.50 | 80.22 | 80.18 | 74.76 | 69.80 |
| | W6A6 | OS+ | 79.67 | 55.68 | 45.22 | 80.02 | 78.03 | 73.95 | 68.76 |
| | W6A6 | OmniQuant | 81.01 | 58.12 | 46.33 | 80.64 | 79.91 | 75.69 | 70.28 |
| | W4A4 | SmoothQuant | 64.47 | 40.44 | 29.82 | 59.38 | 39.90 | 52.24 | 47.71 |
| | W4A4 | OS+ | 68.06 | 43.98 | 35.32 | 62.75 | 50.73 | 54.30 | 52.52 |
| | W4A4 | OmniQuant | 71.81 | 48.02 | 35.92 | 73.27 | 66.81 | 59.51 | 59.22 |

Experiments

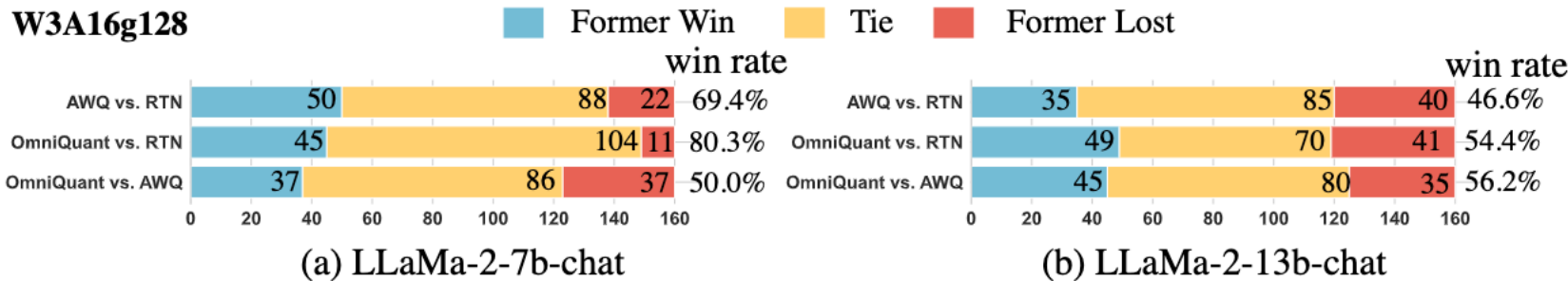


Figure 4: Comparing W3A16g128 quantization among RTN, AWQ ([Lin et al., 2023](#)), and Omni-Quant under Vicuna-Bench ([Chiang et al., 2023](#)). Win rates are calculated without considering tie samples. A higher win rate indicates the better performance of the former of *vs.* pairs.

Experiments

Table 3: Deployment of weight-only quantization through MLC-LLM. We report the memory size of quantized weights (denoted as ‘WM’) and the running memory (denoted as ‘RM’) and speed in NVIDIA A100-80G.

| LLaMA | 7B | | | 13B | | | 30B | | | 65B | | |
|-----------|-------|-------|---------|-------|-------|---------|-------|-------|---------|-------|-------|---------|
| | WM | RM | token/s |
| FP | 12.6G | 14.4G | 69.2 | 24.3G | 27.1G | 52.5 | 60.6G | 66.1G | 23.9 | OOM | - | - |
| W4A16g128 | 3.8G | 5.7G | 134.2 | 7.0G | 10.0G | 91.3 | 16.7G | 21.7G | 43.6 | 33.0G | 41.0G | 24.3 |
| W3A16g128 | 3.2G | 5.1G | 83.4 | 5.8G | 8.7G | 57.6 | 13.7G | 18.7G | 29.0 | 27.0G | 35.1G | 15.2 |
| W2A16g128 | 2.2G | 4.1G | 83.9 | 4.0G | 7.5G | 92.6 | 9.2G | 14.1G | 36.7 | 18.0G | 25.6G | 24.8 |

QLLM: ACCURATE AND EFFICIENT LOW-BITWIDTH QUANTIZATION FOR LARGE LANGUAGE MODELS

Jing Liu^{1,2*}, Ruihao Gong^{2,3}, Xiuying Wei^{2,4}, Zhiwei Dong^{2,5}, Jianfei Cai¹, Bohan Zhuang^{1†}

¹ZIP Lab, Monash University ²SenseTime Research ³Beihang University

⁴School of Computer and Communication Sciences, EPFL

⁵University of Science and Technology Beijing

ICLR 2024

Introduction

- 기존 연구에서는 LLM의 activation 쪽에서 매우 큰값을 가지는 특정한 outlier channel 이 있다는 것을 보였음
- 이는 outlier들이 quantization range를 매우 크게 만들기 때문에, 정확한 숫자를 나타내는 데에 오류를 많이 포함시키고, 결국엔 모델의 성능 저하를 야기함
- 이를 해결하기 위해, 다양한 연구들이 activation 쪽의 outlier 크기를 weight로 전이하거나 하는 노력을 하였음 (e.g. SmoothQuant)

Introduction

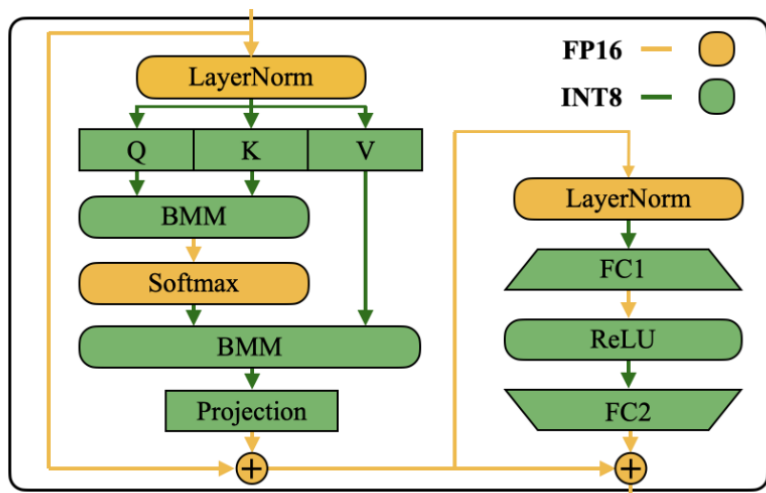
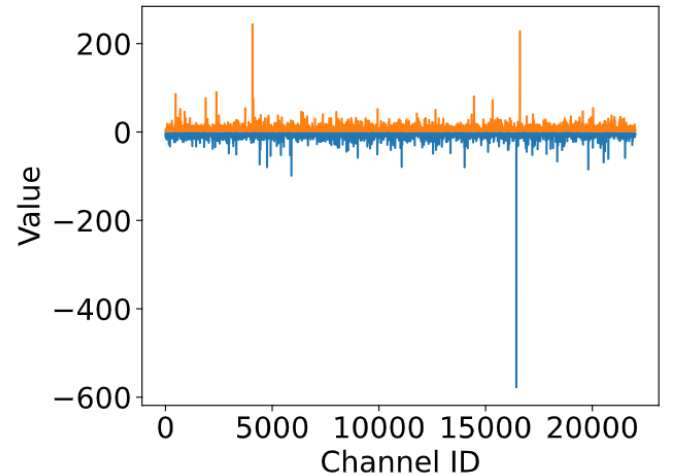
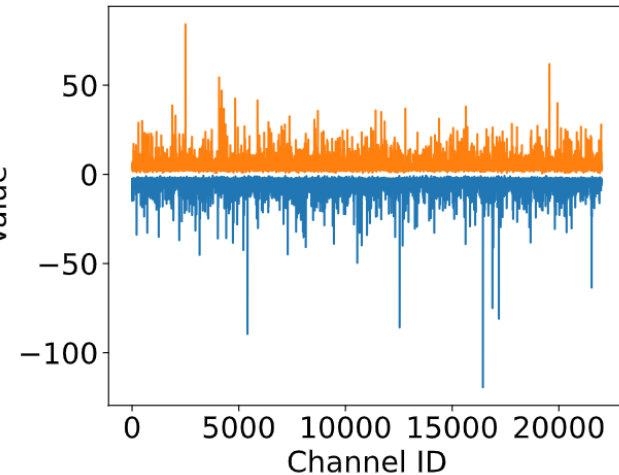


Figure 6: SmoothQuant’s precision mapping for a Transformer block. All compute-intensive operators like linear layers and batched matmul (BMMs) use INT8 arithmetic.



(a) Pre-trained model



(b) SmoothQuant

- 하지만, FFN 내의 activation내의 outlier들이 이 unstable한 gradient를 만들게 되고, 결국 성능이 엄청나게 떨어지게 됨
- 이 논문에서는, QLLM이라는 low-bit width post-training quantization을 제안한다고 함
> outlier들을 gradient-free channel reassembly 테크닉으로 큰 크기의 activation value를 channel들 전체에 재배치하여 이를 해결하고자 함

Proposed Method

- ✓ Adaptive channel reassembly framework 제안
 - : to redistribute input activation outliers across multiple channels
- 1) Channel disassembly
 - : for decomposing the outlier channel
- 2) Channel assembly
 - : for balancing the efficiency
- 3) Adaptive strategy
 - : to find the suitable reassembly ratio for each layer

Channel reassembly technique은 gradient-free이며, 효율적이라는 장점이 있음

Proposed Method

1) Channel Disassembly

: input의 outlier channel들을 분해해서 sub-channel들로 만들기

Outlier들이 특정 채널들에게만 있으니까, 이러한 채널들을 sub-channel들로 만들어서 큰 value들을 분산시키는 원리 !

M번째 채널이 outlier 채널이라 하면, 다른 채널들 계산 완료된 것에 x를 T로 나누고 M번째 계산을 T번 더해줌

$$\mathbf{y}_k = \sum_{i=1}^{M-1} \mathbf{x}_i \mathbf{W}_{ik} + \underbrace{\frac{\mathbf{x}_M}{T} \mathbf{W}_{Mk} + \cdots + \frac{\mathbf{x}_M}{T} \mathbf{W}_{Mk}}_{T \text{ times}}. \quad T = \lceil \max(|\mathbf{x}_M|) / \theta \rceil$$

* θ 는 outlier threshold라고 해서 하이퍼 파라미터

Proposed Method

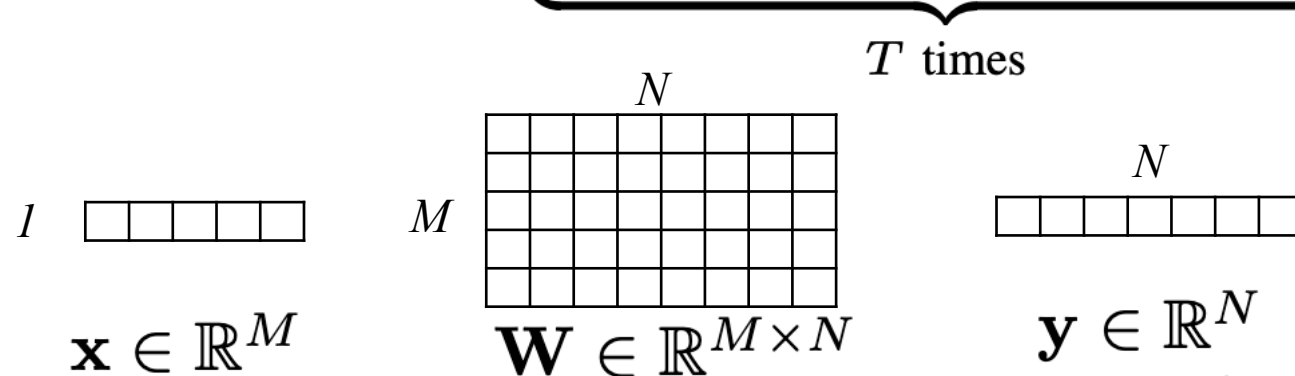
1) Channel Disassembly

: input의 outlier channel들을 분해해서 sub-channel들로 만들기

Outlier들이 특정 채널들에게만 있으니까, 이러한 채널들을 sub-channel들로 만들어서 큰 value들을 분산시키는 원리 !

M번째 채널이 outlier 채널이라 하면, 다른 채널들 계산 완료된 것에 x를 T로 나누고 M번째 계산을 T번 더해줌

$$\mathbf{y}_k = \sum_{i=1}^{M-1} \mathbf{x}_i \mathbf{W}_{ik} + \underbrace{\frac{\mathbf{x}_M}{T} \mathbf{W}_{Mk} + \cdots + \frac{\mathbf{x}_M}{T} \mathbf{W}_{Mk}}_{T \text{ times}}.$$



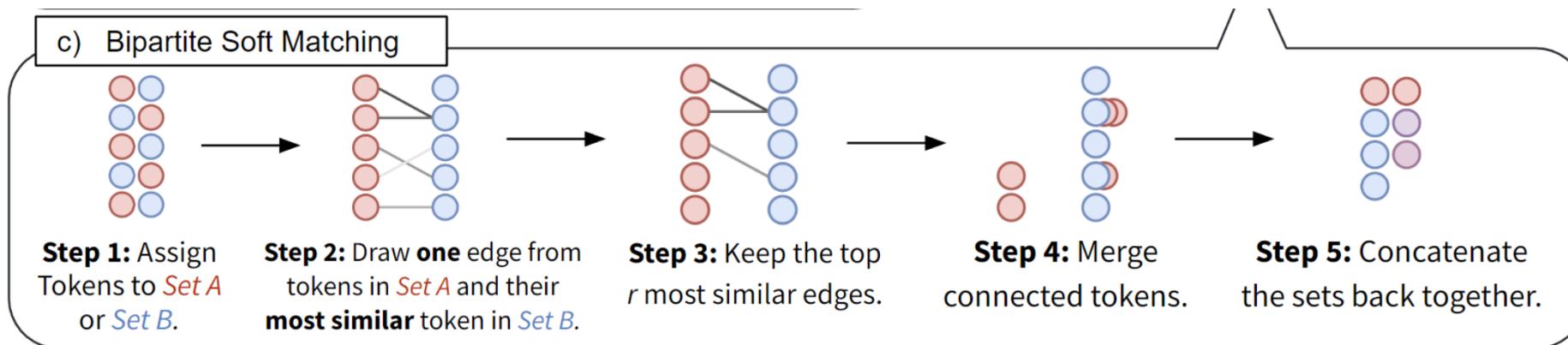
Proposed Method

2) Channel Assembly

: input 채널이 개수 $M+T-1$ 개로 늘어났기에 중요하지 않은 채널은 지우거나 비슷한 채널은 합친 후 채널 개수를 동일하게 맞추고자 함

(Channel Pruning + Chanle Merging)

* token Merging이라고하는 아이디어 차용



$$D(i, j) = \left\| \frac{\mathbf{x}_i(\mathbf{W}_{ik} - \mathbf{W}_{jk})}{2} + \frac{\mathbf{x}_j(\mathbf{W}_{jk} - \mathbf{W}_{ik})}{2} \right\|_2^2$$

Proposed Method

2) Channel Assembly

: input 채널이 개수 $M+T-1$ 개로 늘어났기에 중요하지 않은 채널은 지우거나 비슷한 채널은 합친 후 채널 개수를 동일하게 맞추고자 함

(Channel Pruning + Channel Merging)

i, j 채널 merging은 다음과 같이 진행됨

$$\mathbf{x}_i \mathbf{W}_{ik} + \mathbf{x}_j \mathbf{W}_{jk} \approx \frac{\mathbf{x}_i + \mathbf{x}_j}{2} (\mathbf{W}_{ik} + \mathbf{W}_{jk})$$

* 이때, outlier 채널과 먼 거리의 channel은 merge 하지 않음

Proposed Method

3) Adaptive Reassembly

: 각 레이어마다 위의 Reassembly 비율을 얼마나 해야할지 결정함

- Channel Disassembly:

$$T = \lceil \max(|\mathbf{x}_M|) / \theta \rceil$$

- high value for T with a small θ 일 경우:

- a) substantially reduces outlier magnitudes and benefits quantization
 - b) resulting in a larger increase in channel merging error due to a higher merging ratio

- small T with a large θ 일 경우:

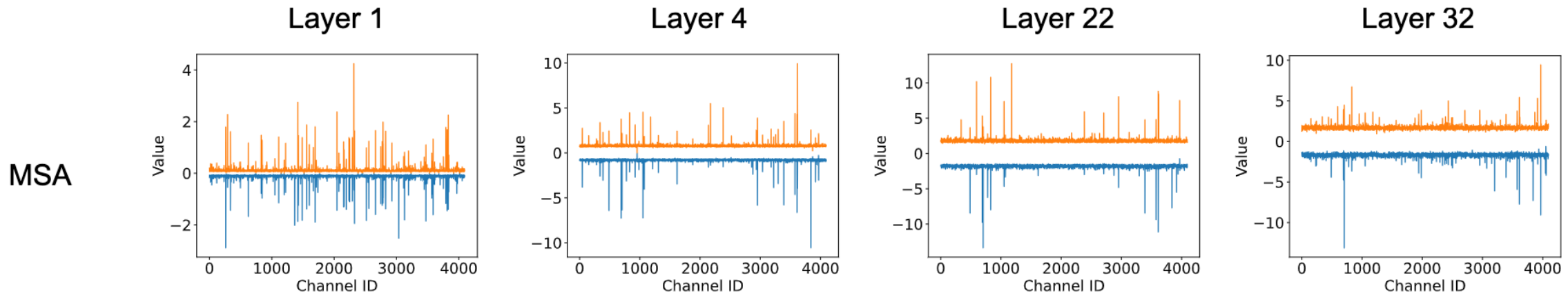
- a) will not increase the channel count much making it easier for the assembly stage to keep the information
 - b) likely still retaining outliers, causing significant quantization errors

Proposed Method

3) Adaptive Reassembly

: 각 레이어마다 위의 Reassembly 비율을 얼마나 해야할지 결정함

- 하지만 그걸 만족하는 θ 를 찾기는 어려움. 왜냐하면 각 레이어마다 다른 패턴을 가지고 있기 때문



Proposed Method

3) Adaptive Reassembly

: 각 레이어마다 위의 Reassembly 비율을 얼마나 해야할지 결정함

각 레이어의 original output activations과 reassembled input activation 에러를 가장 줄이는 θ 를 고르는 문제

$\hat{\mathbf{X}} \in \mathbb{R}^{L \times M}$: Reassembled activation

L : Reassembled activation

$$\tilde{\mathbf{Q}} = \text{quant}(\hat{\mathbf{X}})\text{quant}(\hat{\mathbf{W}}_Q) \quad \arg \min_{\theta} \left\| \text{Softmax}(\mathbf{Q}\mathbf{K}^T)\mathbf{V} - \text{Softmax}(\tilde{\mathbf{Q}}\tilde{\mathbf{K}}^T)\hat{\mathbf{V}} \right\|_F^2,$$

$$\tilde{\mathbf{K}} = \text{quant}(\hat{\mathbf{X}})\text{quant}(\hat{\mathbf{W}}_K)$$

$$\tilde{\mathbf{V}} = \text{quant}(\hat{\mathbf{X}})\text{quant}(\hat{\mathbf{W}}_V)$$

Proposed Method

- ✓ Efficient Gradient-Based Error Correction

: 이전 방법이 gradient-free였다면, 이제 gradient-based는 작은 calibration set을 이용해서 튜닝하는 법을 말함. 이때 학습시키는 파라미터는 Low-rank로 구성하고 기존 W 는 freeze

$$\mathbf{Y} = \text{quant}(\mathbf{X})\text{quant}(\mathbf{W}) + \text{quant}(\mathbf{X})\mathbf{AB}$$

$$\mathbf{A} \in \mathbb{R}^{M \times r}$$

$$\mathbf{B} \in \mathbb{R}^{r \times N}$$

- low-rank 파라미터는 reconstruction error (original과 quantized output)을 줄이는 목적으로 학습되고 Attention-FFN 블럭들을 자동으로 조정하게됨

$\text{quant}(\mathbf{W} + \mathbf{AB})$ 이 값이 결국에 보존되는 값!

Experiments

- ✓ Model Setup
 - : LLaMA 1, LLaMA2 (Zero-shot)
- ✓ Quantization Setup
 - : per-channel weight quantization + per-token activation quantization
- ✓ Calibration Set
 - : 128 random samples (from WikiText2)

Experiments

Table 1: Performance comparisons of different methods for weights and activations quantization on LLaMA-1 model family. PPL denotes the perplexity.

| Model | #Bits | Method | PPL ↓ | | | Accuracy (%) ↑ | | | | |
|-------------|--------|------------|-----------|--------|-------------|----------------|-------|-------|-----------|------------|
| | | | WikiText2 | C4 | Avg. | PIQA | ARC-e | ARC-c | HellaSwag | Winogrande |
| LLaMA-1-7B | W16A16 | - | 5.68 | 7.08 | 6.38 | 77.37 | 52.48 | 41.38 | 72.99 | 66.93 |
| | W6A6 | SQ | 6.15 | 7.61 | 6.88 | 76.65 | 53.11 | 40.10 | 71.52 | 61.88 |
| | W6A6 | OS+ | 5.90 | - | - | 76.82 | 51.35 | 41.13 | 71.42 | 65.98 |
| | W6A6 | OmniQuant | 5.96 | 7.43 | 6.70 | 77.09 | 51.89 | 40.87 | 71.61 | 65.03 |
| | W6A6 | QLLM | 5.89 | 7.34 | 6.62 | 77.26 | 52.02 | 41.04 | 71.40 | 65.19 |
| | W4A8 | QLLM | 5.96 | 7.49 | 6.73 | 76.17 | 50.84 | 40.02 | 70.75 | 66.22 |
| | W4A4 | SQ | 52.85 | 104.35 | 78.60 | 49.80 | 30.40 | 25.80 | 27.40 | 48.00 |
| | W4A4 | LLM-QAT | - | - | - | 51.50 | 27.90 | 23.90 | 31.10 | 51.90 |
| | W4A4 | LLM-QAT+SQ | - | - | - | 55.90 | 35.50 | 26.40 | 47.80 | 50.60 |
| | W4A4 | OS+ | 40.32 | - | - | 62.73 | 39.98 | 30.29 | 44.39 | 52.96 |
| LLaMA-1-13B | W16A16 | - | 5.09 | 6.61 | 5.85 | 79.05 | 59.84 | 44.62 | 76.22 | 70.09 |
| | W6A6 | SQ | 5.50 | 7.03 | 6.27 | 77.80 | 56.36 | 42.58 | 75.11 | 68.11 |
| | W6A6 | OS+ | 5.37 | - | - | 78.29 | 56.90 | 43.09 | 75.09 | 69.22 |
| | W6A6 | OmniQuant | 5.28 | 6.84 | 6.06 | 78.40 | 57.28 | 42.91 | 75.82 | 68.27 |
| | W6A6 | QLLM | 5.28 | 6.82 | 6.05 | 77.91 | 57.70 | 42.92 | 75.02 | 69.14 |
| | W4A8 | QLLM | 5.33 | 6.91 | 6.12 | 78.29 | 57.03 | 42.75 | 74.46 | 68.35 |
| | W4A4 | SQ | 79.35 | 120.24 | 99.80 | 55.55 | 34.51 | 26.71 | 41.56 | 48.70 |
| | W4A4 | OS+ | 53.64 | - | - | 63.00 | 40.32 | 30.38 | 53.61 | 51.54 |
| | W4A4 | OmniQuant | 10.87 | 13.78 | 12.33 | 69.69 | 47.39 | 33.10 | 58.96 | 55.80 |
| | W4A4 | QLLM | 8.41 | 10.58 | 9.50 | 71.38 | 47.60 | 34.30 | 63.70 | 59.43 |

Experiments

| | | | | | | | | | | | |
|-------------|--------|-----------|--------|--------|-------------|-------|-------|-------|-------|-------|--------------|
| | W16A16 | - | 4.10 | 5.98 | 5.04 | 80.09 | 58.92 | 45.39 | 79.21 | 72.77 | 67.28 |
| LLaMA-1-30B | W6A6 | SQ | 5.37 | - | - | 77.14 | 57.61 | 42.91 | 78.07 | 69.92 | 65.13 |
| | W6A6 | OS+ | 4.48 | - | - | 80.14 | 58.92 | 45.05 | 77.96 | 71.98 | 66.81 |
| | W6A6 | OmniQuant | 4.38 | 6.22 | 5.30 | 79.81 | 58.79 | 45.22 | 78.95 | 72.21 | 67.00 |
| | W6A6 | QLLM | 4.30 | 6.17 | 5.24 | 79.65 | 58.08 | 44.11 | 78.38 | 73.24 | 66.69 |
| | W4A8 | QLLM | 4.40 | 6.22 | 5.31 | 79.11 | 57.87 | 44.62 | 78.03 | 72.22 | 66.37 |
| | W4A4 | SQ | 399.65 | 245.87 | 322.76 | 50.16 | 28.11 | 26.71 | 31.97 | 51.14 | 37.62 |
| | W4A4 | OS+ | 112.33 | - | - | 67.63 | 46.17 | 34.30 | 54.32 | 52.64 | 51.01 |
| | W4A4 | OmniQuant | 10.33 | 12.49 | 11.41 | 71.21 | 49.45 | 34.47 | 64.65 | 59.19 | 55.79 |
| | W4A4 | QLLM | 8.37 | 11.51 | 9.94 | 73.83 | 50.67 | 38.40 | 67.91 | 58.56 | 57.87 |
| LLaMA-1-65B | W16A16 | - | 3.56 | 5.62 | 4.59 | 80.85 | 58.75 | 46.25 | 80.73 | 77.11 | 68.74 |
| | W6A6 | SQ | 4.00 | 6.08 | 5.04 | 77.97 | 54.67 | 44.62 | 77.51 | 72.61 | 65.48 |
| | W6A6 | OS+ | - | - | - | 79.67 | 55.68 | 45.22 | 78.03 | 73.95 | 66.51 |
| | W6A6 | OmniQuant | 3.75 | 5.82 | 4.79 | 81.01 | 58.12 | 46.33 | 79.91 | 75.69 | 68.21 |
| | W6A6 | QLLM | 3.73 | 5.80 | 4.77 | 80.14 | 57.79 | 45.05 | 79.74 | 74.59 | 67.46 |
| | W4A8 | QLLM | 3.78 | 8.82 | 6.30 | 80.14 | 58.59 | 46.42 | 79.71 | 74.66 | 67.90 |
| | W4A4 | SQ | 112.02 | 118.96 | 115.49 | 61.81 | 40.15 | 32.08 | 46.19 | 50.83 | 46.21 |
| | W4A4 | OS+ | 32.60 | - | - | 68.06 | 43.98 | 35.32 | 50.73 | 54.30 | 50.48 |
| | W4A4 | OmniQuant | 9.17 | 11.28 | 10.23 | 71.81 | 48.02 | 35.92 | 66.81 | 59.51 | 56.41 |
| | W4A4 | QLLM | 6.87 | 8.98 | 7.93 | 73.56 | 52.06 | 39.68 | 70.94 | 62.9 | 59.83 |

Experiments

Table 2: Perplexity results of different components in channel reassembly. “CD” stands for channel disassembly. “CA” represents channel assembly. “CP” indicates channel pruning. “Adaptive” refers to the adaptive strategy. “ γ ” is the channel expansion ratio.

| CD | CA | CP | Adaptive | γ | LLaMA-1-13B | | | |
|----|----|----|----------|----------|-------------|--------|--------|--------------|
| | | | | | WikiText2 | PTB | C4 | Avg. |
| ✓ | | | | 0.00 | 189.35 | 539.59 | 303.45 | 344.13 |
| ✓ | | | | 0.01 | 8.31 | 14.44 | 10.74 | 11.16 |
| ✓ | | | | 0.03 | 8.01 | 13.52 | 10.27 | 10.60 |
| ✓ | | | | 0.05 | 7.85 | 13.38 | 10.13 | 10.45 |
| ✓ | | | | 0.07 | 7.81 | 13.35 | 10.11 | 10.42 |
| ✓ | ✓ | | | 0.01 | 8.68 | 15.16 | 11.12 | 11.65 |
| ✓ | ✓ | | | 0.03 | 8.72 | 14.99 | 11.03 | 11.58 |
| ✓ | ✓ | | | 0.05 | 8.95 | 15.34 | 11.29 | 11.86 |
| ✓ | ✓ | | | 0.07 | 9.39 | 15.98 | 11.84 | 12.40 |
| ✓ | ✓ | | | 0.01 | 8.98 | 16.34 | 11.37 | 12.23 |
| ✓ | ✓ | | | 0.03 | 9.51 | 18.29 | 12.7 | 13.50 |
| ✓ | ✓ | | | 0.05 | 9.60 | 18.11 | 13.4 | 13.70 |
| ✓ | ✓ | | | 0.07 | 11.23 | 21.61 | 19.79 | 17.54 |
| ✓ | ✓ | - | ✓ | - | 8.41 | 14.38 | 10.58 | 11.12 |

Experiments

Table 4: Comparisons between efficient error correction (EEC) and tuning quantized weights directly (TQW) for 4-bit LLaMA-1-65B. “OOM” indicates out of memory.

| #Attn-FFN Block | Method | WikiText2 | PTB | C4 | Avg. | Training Time (GPU Hours) | GPU Memory (GB) |
|-----------------|--------|-----------|-------|-------|-------|---------------------------|-----------------|
| 1 | TQW | 6.34 | 17.61 | 9.56 | 11.17 | 12.16 | 30.84 |
| 1 | EEC | 8.31 | 13.77 | 10.76 | 10.95 | 7.79 | 19.00 |
| 2 | TQW | 6.25 | 11.18 | 8.56 | 8.66 | 12.13 | 52.45 |
| 2 | EEC | 7.62 | 11.47 | 9.39 | 9.49 | 7.79 | 28.60 |
| 4 | TQW | - | - | - | - | - | OOM |
| 4 | EEC | 6.87 | 11.36 | 8.98 | 9.07 | 7.77 | 47.71 |

Thanks

Q & A
